

# Moderne Experimentalphysik III: Kerne und Teilchen (Physik VI)

**Günter Quast, Roger Wolf, Pablo Goldenzweig**  
04. Mai 2017

INSTITUTE OF EXPERIMENTAL PARTICLE PHYSICS (IEKP) – PHYSICS FACULTY



# **Kapitel 2.1: Nachweis geladener Teilchen in Materie**

# Teilchennachweis...

... erfolgt durch  
**Wechselwirkung**  
(WW) mit Detektor-  
material:

- **Ionisation** des Detektormaterials
- **Bremsstrahlung/Paarbildung** in elektromagnetischen Feldern im Detektormaterial
- **Kernwechselwirkungen** mit dem Detektormaterial.

**Lokalisation** der Ladungstrennung



Rekonstruktion der Teilchentrajektorie (**Spur**)

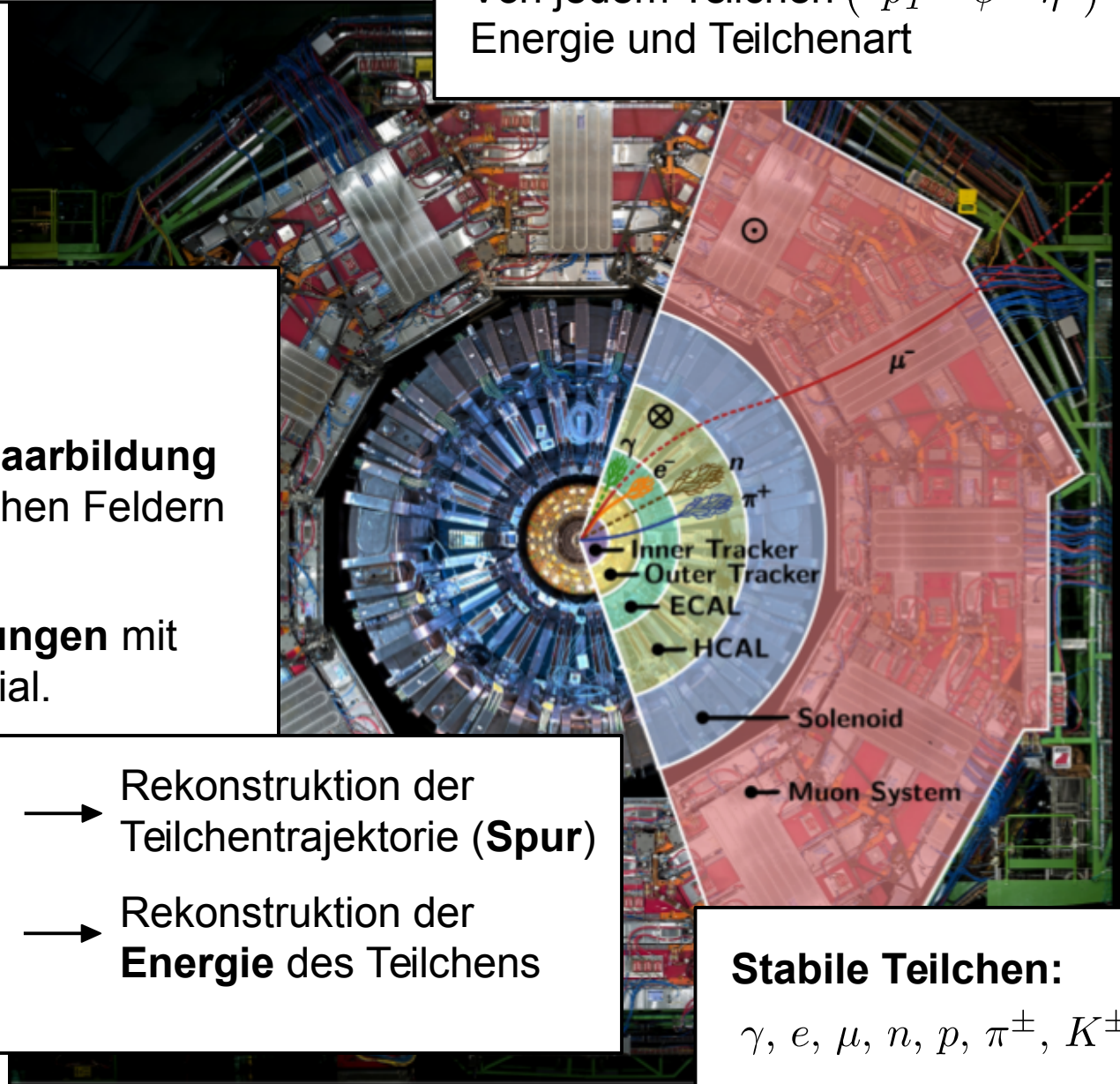
**Sammlung** aller frei gewordenen Ladungen



Rekonstruktion der **Energie** des Teilchens

**Was wir wissen wollen:**

Von jedem Teilchen (  $p_T$   $\phi$   $\eta$  )  
Energie und Teilchenart

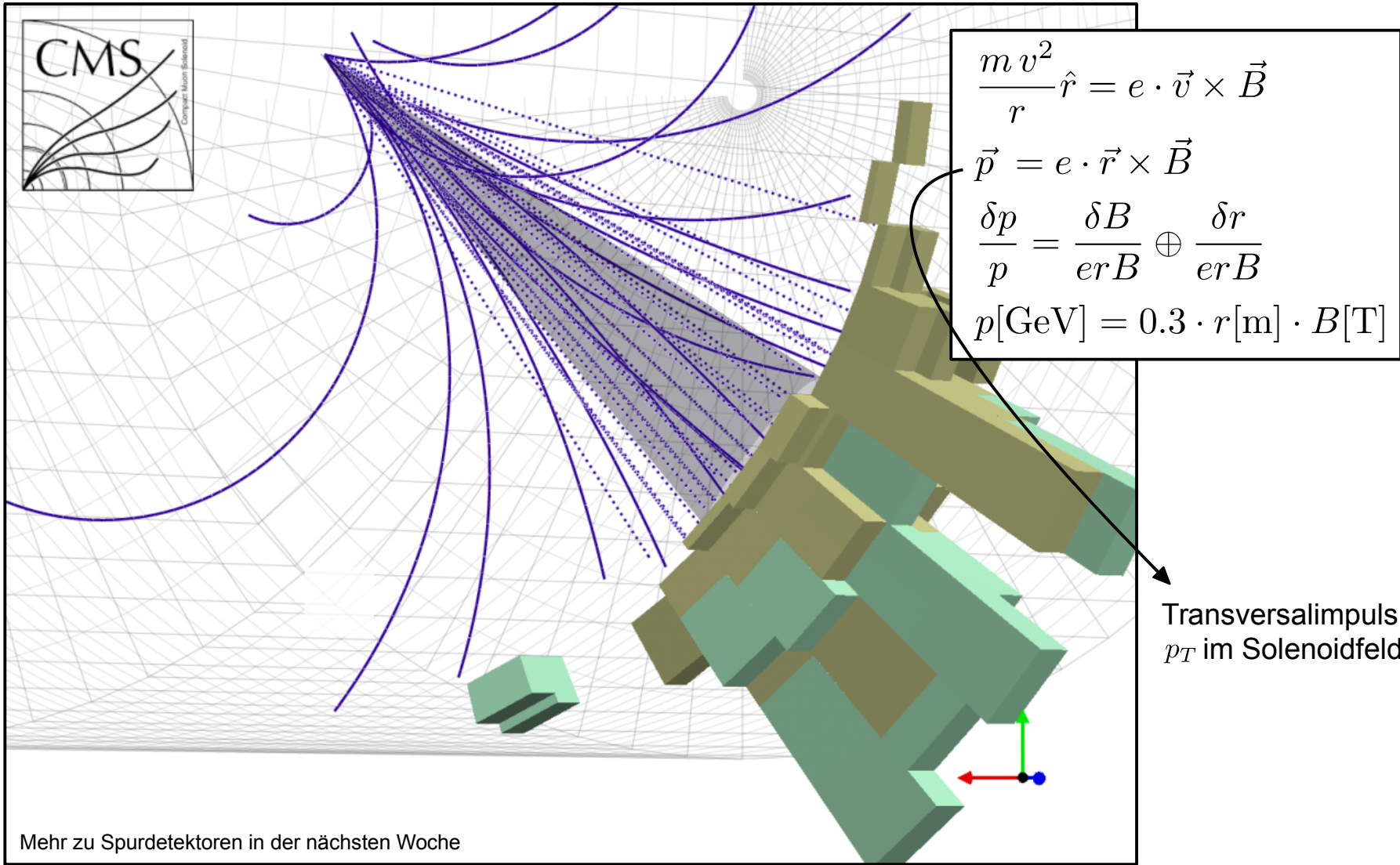


**Stabile Teilchen:**

$\gamma, e, \mu, n, p, \pi^\pm, K^\pm$

# Impulsbestimmung aus der rekonstruierten Spur

- Spurdetektoren in Magnetfeldern erlauben Impulsbestimmung: üblicherweise Solenoid-, manchmal auch Toroidfelder



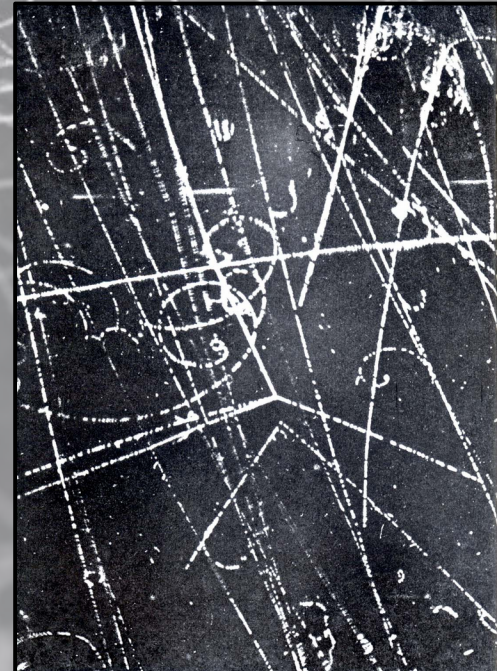
# Energieverlust durch Ionisation

- Wichtigste Form der WW für alle geladenen Teilchen
- Grundlegender Prozess: inelastische Stöße mit gebundenen Elektronen in Atomen des Detektormaterials, charakteristischer Energieverlust

$$\left\langle \frac{dE}{dX} \right\rangle = -4\pi N_A r_e^2 m_e c^2 z^2 \frac{Z}{A} \cdot \frac{1}{\beta^2} \cdot \ln \left( \frac{2 m_e c^2 \beta^2 \gamma^2}{I} - \beta^2 \right)$$

(Bethe-Formel)

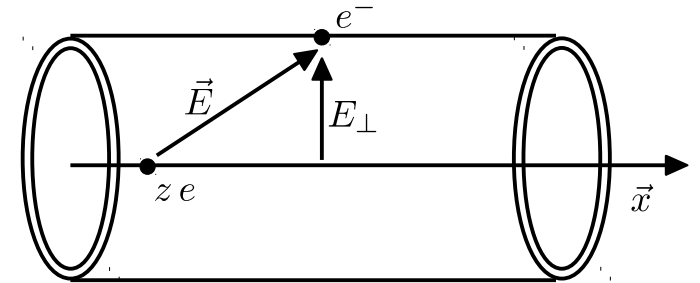
- Näherungsformel für mittleren Energieverlust durch Ionisation.
- Gültig für Teilchen mit Ladung  $ze$  und  $0.1 \lesssim \beta\gamma \lesssim 1000$
- **Teilchennachweis** in Form von...
  - ... Kondensationskeimen von Gasbläschen/Nebeltropfen
  - ... Freien Ladungen (getrennt durch E-Felder)



# Bethe-Formel (Herleitung - I)

- Impulsänderung:**

$$\begin{aligned}
 |\Delta \vec{p}_\perp| &= \int_{-\infty}^{\infty} e E_\perp dt = \int_{-\infty}^{\infty} e E_\perp \frac{dx}{v} \\
 &= \frac{e}{2\pi b v} \int_{-\infty}^{\infty} \vec{E} \cdot \hat{r} 2\pi b dx = \frac{e}{2\pi b v} \int_V \vec{\nabla} \cdot \vec{E} dV \\
 &= \frac{e}{2\pi b v} \int_V \frac{\rho}{\epsilon_0} dV = \frac{2 z e^2}{(4\pi\epsilon_0) b v}
 \end{aligned}$$



- Energieübertrag:**

$$\Delta E_{kin} = \frac{\Delta p_\perp^2}{2 m_2} = \frac{2}{m_e} \left( \frac{z e^2}{(4\pi\epsilon_0) v b} \right)^2$$

- Elektronendichte im Volumenelement  $2\pi b db dx$ :**

$$N_e = n_e 2\pi b db dx$$

- Energieverlust pro Weglänge:**

$$\begin{aligned}
 \left\langle \frac{dE}{dx} \right\rangle_{ion} &= -2\pi n_e \int b \Delta E_{kin} db \\
 &= -2\pi n_e \int b \frac{2 z^2 e^4}{m_e (4\pi\epsilon_0)^2 v^2 b^2} db \\
 &= -\frac{4\pi n_e z^2 e^4}{(4\pi\epsilon_0)^2 m_e v^2} \int \frac{db}{b} \\
 &= -\frac{4\pi n_e z^2 e^4}{(4\pi\epsilon_0)^2 m_e v^2} \ln \left( \frac{b_{max}}{b_{min}} \right)
 \end{aligned}$$

# Bethe-Formel (Herleitung - II)

- Bestimmung der Integrationsgrenzen:**

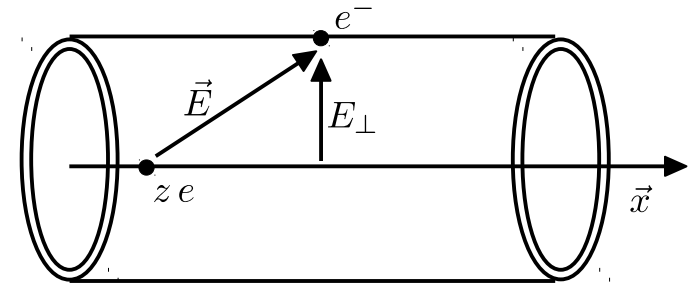
$$b_{min} \approx \frac{h}{p} = \frac{h}{\gamma m_e v} \quad (\text{de-Broglie Wellenlänge})$$

$b_{max}$ : das vorbei fliegende Teilchen stört das Atom durch sein elektromag. Feld für eine Zeit  $\Delta t \approx \frac{b}{\gamma v}$

Ist  $\Delta t$  lang gegen die Periode,  $\langle \nu \rangle$ , des Atoms wird sich das Atom langsam strecken und dann wieder in seinen Ausgangszustand zurückkehren, ohne nennenswerten Energieübertrag. Im umgekehrten Fall kann das Elektron als quasi-frei betrachtet werden.

$$\Delta t \cdot \langle \nu \rangle \lesssim 1 \quad (\text{Heisenberg})$$

$$b \lesssim \frac{\gamma v}{\langle \nu \rangle} \equiv b_{max}$$



- Energieverlust pro Weglänge:**

$$\begin{aligned} \left\langle \frac{dE}{dx} \right\rangle_{\text{ion}} &= -2 \pi n_e \int b \Delta E_{kin} db \\ &= -2 \pi n_e \int b \frac{2 z^2 e^4}{m_e (4 \pi \epsilon_0)^2 v^2 b^2} db \\ &= -\frac{4 \pi n_e z^2 e^4}{(4 \pi \epsilon_0)^2 m_e v^2} \int \frac{db}{b} \\ &= -\frac{4 \pi n_e z^2 e^4}{(4 \pi \epsilon_0)^2 m_e v^2} \ln \left( \frac{b_{max}}{b_{min}} \right) \end{aligned}$$

# Bethe-Formel (Herleitung - II)

- Bestimmung der Integrationsgrenzen:**

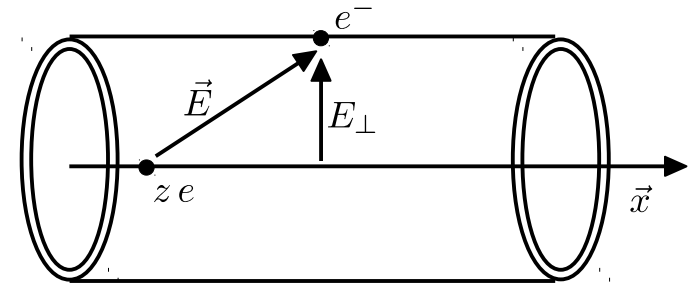
$$b_{min} \approx \frac{h}{p} = \frac{h}{\gamma m_e v} \quad (\text{de-Broglie Wellenlänge})$$

$b_{max}$ : das vorbei fliegende Teilchen stört das Atom durch sein elektromag. Feld für eine Zeit  $\Delta t \approx \frac{b}{\gamma v}$

Ist  $\Delta t$  lang gegen die Periode,  $\langle \nu \rangle$ , des Atoms wird sich das Atom langsam strecken und dann wieder in seinen Ausgangszustand zurückkehren, ohne nennenswerten Energieübertrag. Im umgekehrten Fall kann das Elektron als quasi-frei betrachtet werden.

$$\Delta t \cdot \langle \nu \rangle \lesssim 1 \quad (\text{Heisenberg})$$

$$b \lesssim \frac{\gamma v}{\langle \nu \rangle} \equiv b_{max}$$



- Energieverlust pro Weglänge:**

$$\begin{aligned} \left\langle \frac{dE}{dx} \right\rangle_{\text{ion}} &= -2 \pi n_e \int b \Delta E_{kin} db \\ &= -2 \pi n_e \int b \frac{2 z^2 e^4}{m_e (4 \pi \epsilon_0)^2 v^2 b^2} db \\ &= -\frac{4 \pi n_e z^2 e^4}{(4 \pi \epsilon_0)^2 m_e v^2} \int \frac{db}{b} \\ &= -\frac{4 \pi n_e z^2 e^4}{(4 \pi \epsilon_0)^2 m_e v^2} \ln \left( \frac{m_e \gamma^2 \beta^2 c^2}{h \langle \nu \rangle} \right) \end{aligned}$$

# Bethe-Formel (Herleitung - III)

## • Typische Ersetzungen:

$$\left\langle \frac{dE}{dx} \right\rangle_{\text{ion}} = - \frac{4 \pi n_e z^2 e^4}{(4 \pi \epsilon_0)^2 m_e v^2} \ln \left( \frac{m_e \gamma^2 \beta^2 c^2}{h \langle \nu \rangle} \right)$$

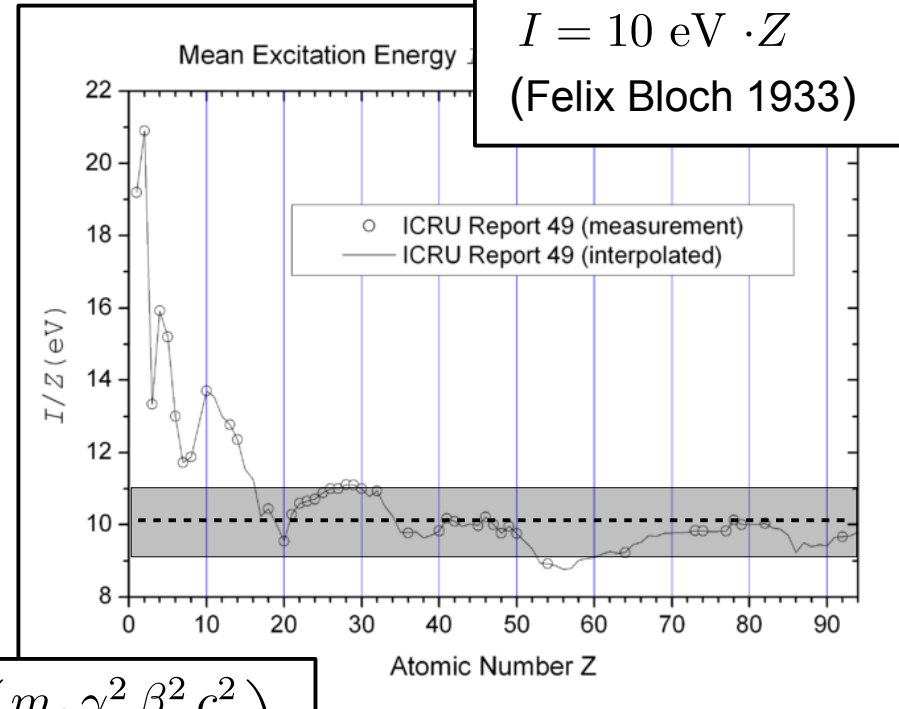
$$r_e = \frac{e^2}{(4 \pi \epsilon_0) m_e c^2} \quad (\text{klass. } e^- \text{ Radius})$$

$$n_e = N_A \cdot \rho \cdot \frac{Z}{A}$$

$$X = \rho \cdot x \quad (\text{Belegungsdichte})$$

$$I = h \langle \nu \rangle$$

$$\left\langle \frac{dE}{dX} \right\rangle_{\text{ion}} = -4 \pi N_A r_e^2 m_e c^2 z^2 \frac{Z}{A} \cdot \frac{1}{\beta^2} \cdot \ln \left( \frac{m_e \gamma^2 \beta^2 c^2}{I} \right)$$



# Bethe-Formel

$$\left\langle \frac{dE}{dX} \right\rangle_{\text{ion}} = -4 \pi N_A r_e^2 m_e c^2 z^2 \frac{Z}{A} \cdot \frac{1}{\beta^2} \cdot \ln \left( \frac{m_e \gamma^2 \beta^2 c^2}{I} \right)$$

- **Volle QM Rechnung:**

- $m_e c^2 \beta^2 \gamma^2 \rightarrow 2 m_e c^2 \beta^2 \gamma^2$
- $\frac{m_e c^2 \beta^2 \gamma^2}{I} \rightarrow \frac{2 m_e c^2 \beta^2 \gamma^2}{I} - \beta^2$

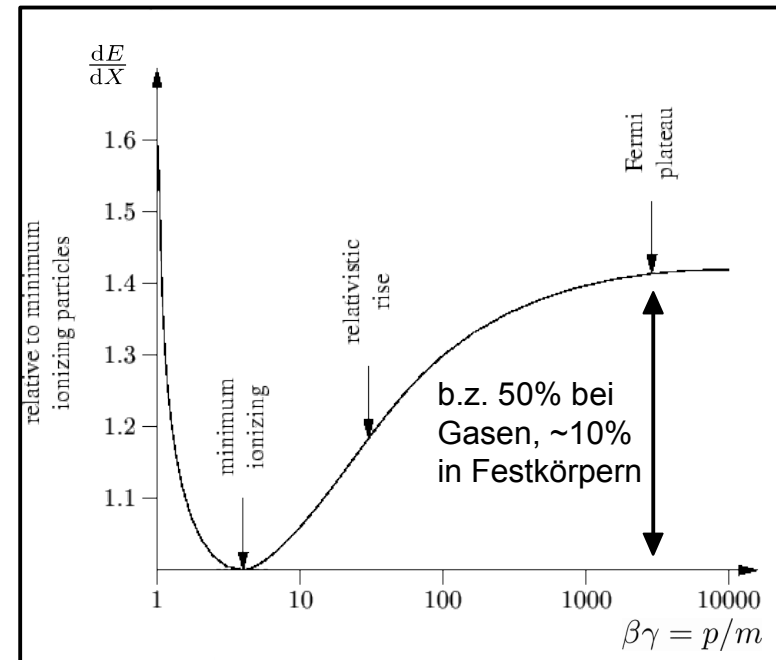
$$\left\langle \frac{dE}{dX} \right\rangle_{\text{ion}} = -4 \pi N_A r_e^2 m_e c^2 z^2 \frac{Z}{A} \cdot \frac{1}{\beta^2} \cdot \ln \left( \frac{2 m_e \gamma^2 \beta^2 c^2}{I} - \beta^2 \right)$$

- Es gibt noch weitere Korrekturen (die auch den Gültigkeitsbereich erweitern)

# Bethe-Formel (Diskussion)

$$\left\langle \frac{dE}{dX} \right\rangle_{\text{ion}} = -4 \pi N_A r_e^2 m_e c^2 z^2 \frac{Z}{A} \cdot \frac{1}{\beta^2} \cdot \ln \left( \frac{2 m_e \gamma^2 \beta^2 c^2}{I} - \beta^2 \right)$$

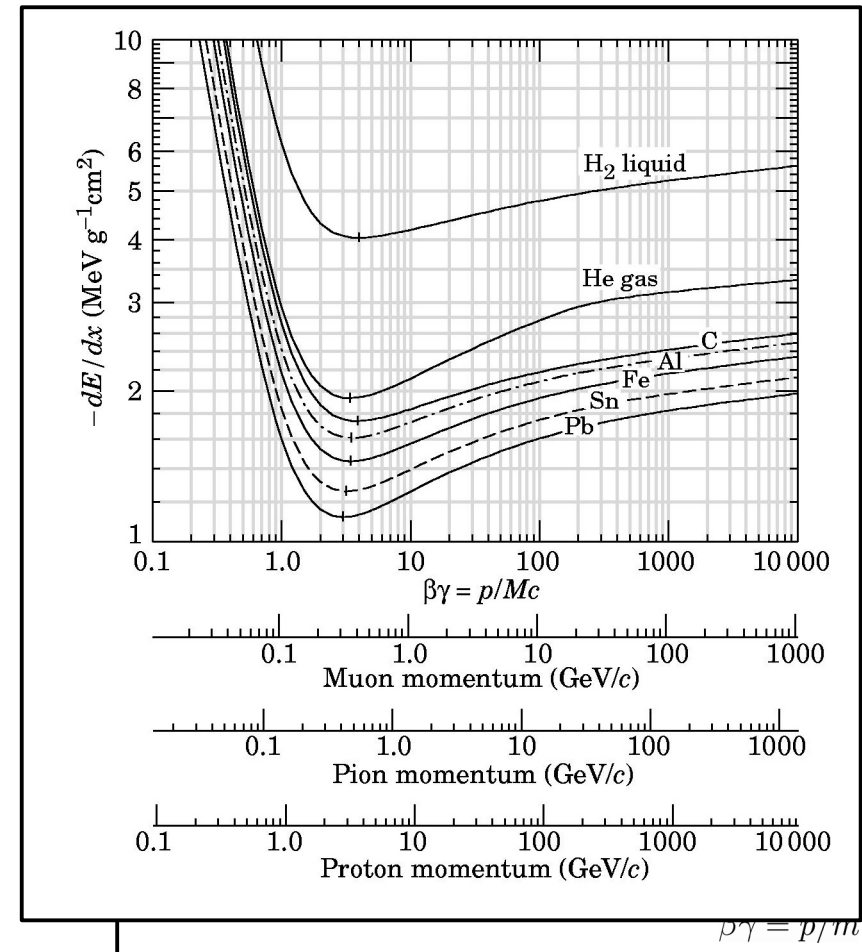
- Unabhängig von Masse des einfallenden Teilchens
- Energieverlust hängt für hohe Z nur von Materialdichte ab ( $\frac{Z}{A} \approx 0.5$ )
- Für niedrige Energien  $\propto \frac{1}{v^2}$  ( $\ln(\dots) \approx 1$ )
- Für  $\beta\gamma \approx 3 \dots 3.5$  breites Minimum bei  $dE/dX \approx 1 \dots 2 \text{ MeV} \cdot \text{cm}^2/g$  (unabh. von Teilchenart oder Medium, **minimal ionizing particle, MIP**)
- Danach logarithmischer Anstieg (bedingt durch Lorentzkontraktion der elektromagnetischen Felder)



# Bethe-Formel (Diskussion)

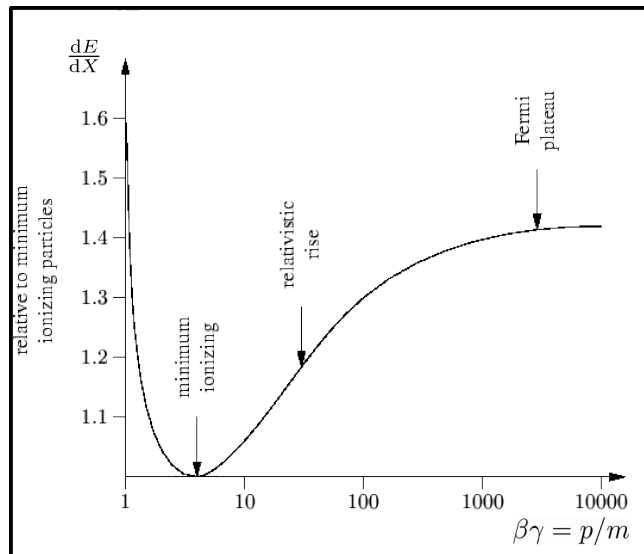
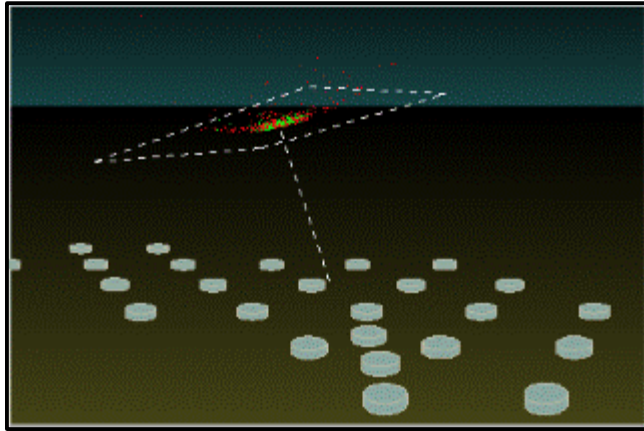
$$\left\langle \frac{dE}{dX} \right\rangle_{\text{ion}} = -4 \pi N_A r_e^2 m_e c^2 z^2 \frac{Z}{A} \cdot \frac{1}{\beta^2} \cdot \ln \left( \frac{2 m_e \gamma^2 \beta^2 c^2}{I} - \beta^2 \right)$$

- Unabhängig von Masse des einfallenden Teilchens
- Energieverlust hängt für hohe Z nur von Materialdichte ab ( $\frac{Z}{A} \approx 0.5$ )
- Für niedrige Energien  $\propto \frac{1}{v^2}$  ( $\ln(\dots) \approx 1$ )
- Für  $\beta\gamma \approx 3 \dots 3.5$  breites Minimum bei  $dE/dX \approx 1 \dots 2 \text{ MeV} \cdot \text{cm}^2/g$  (unabh. von Teilchenart oder Medium, **minimal ionizing particle, MIP**)
- Danach logarithmischer Anstieg (bedingt durch Lorentzkontraktion der elektromagnetischen Felder)



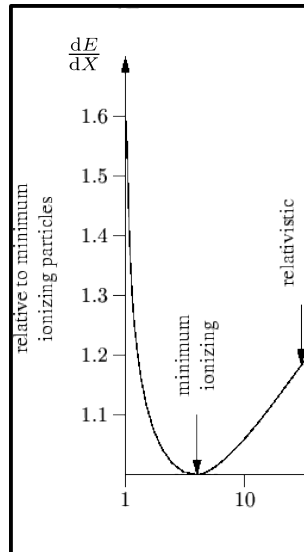
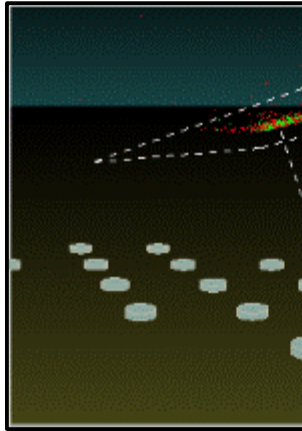
## Breite eines Luftschauers:

- Front i.A. nicht breiter als 1m



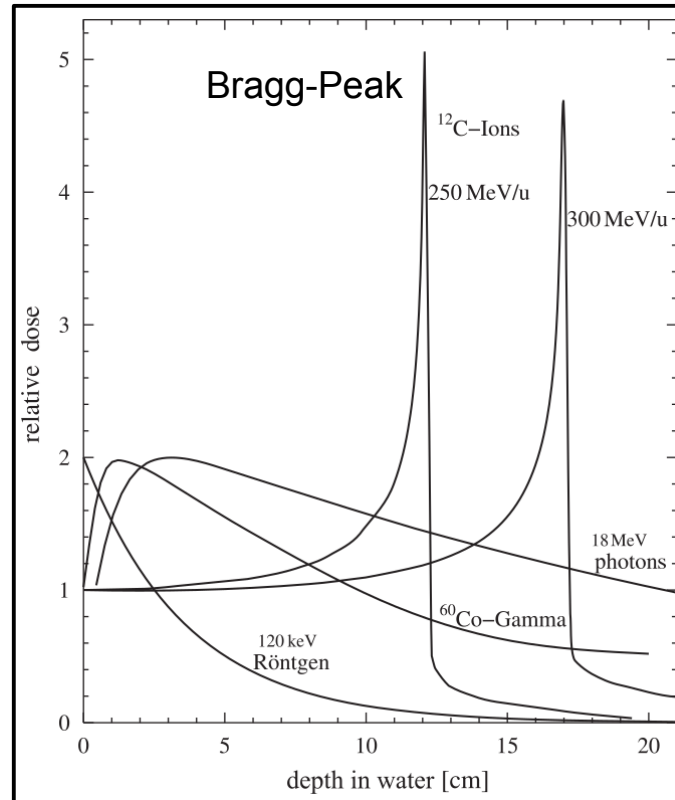
## Breite eines Luftschauers:

- Front i.A. nicht



## Mittlere Reichweite in Medium:

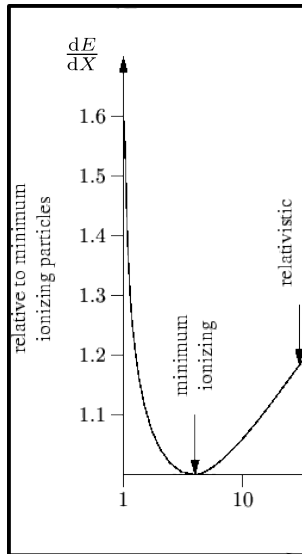
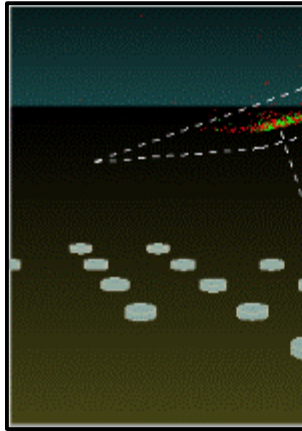
- Integration Bethe-Gleichung



- Medizinische Anwendung in **Schwerionentherapie**

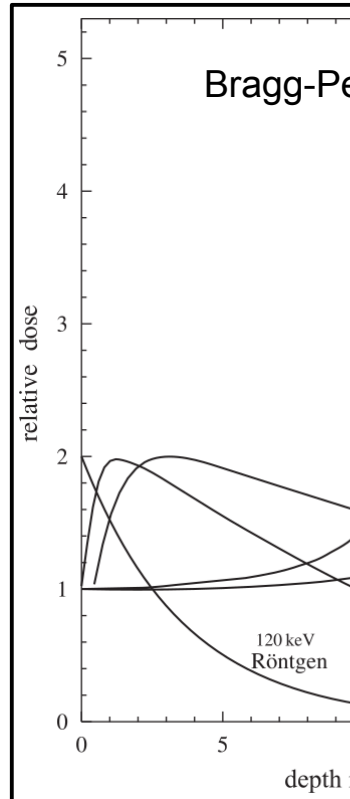
## Breite eines Luftschauers:

- Front i.A. nicht



## Mittlere Reichweite in Medium:

- Integration Bethe-Blomquist

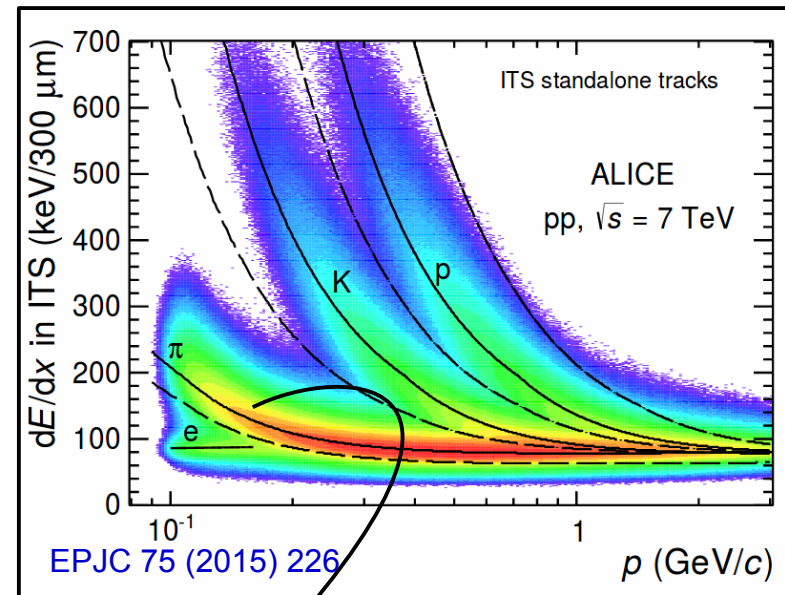


- Medizinische Anwendung  
Schwerionentherapie

## Teilchenidentifikation in Experimenten der Teilchenphysik:

- Identifikation über Bestimmung der Teilchenmasse aus:

$$p = m \gamma \beta \rightarrow m = \frac{p}{\beta \gamma}$$

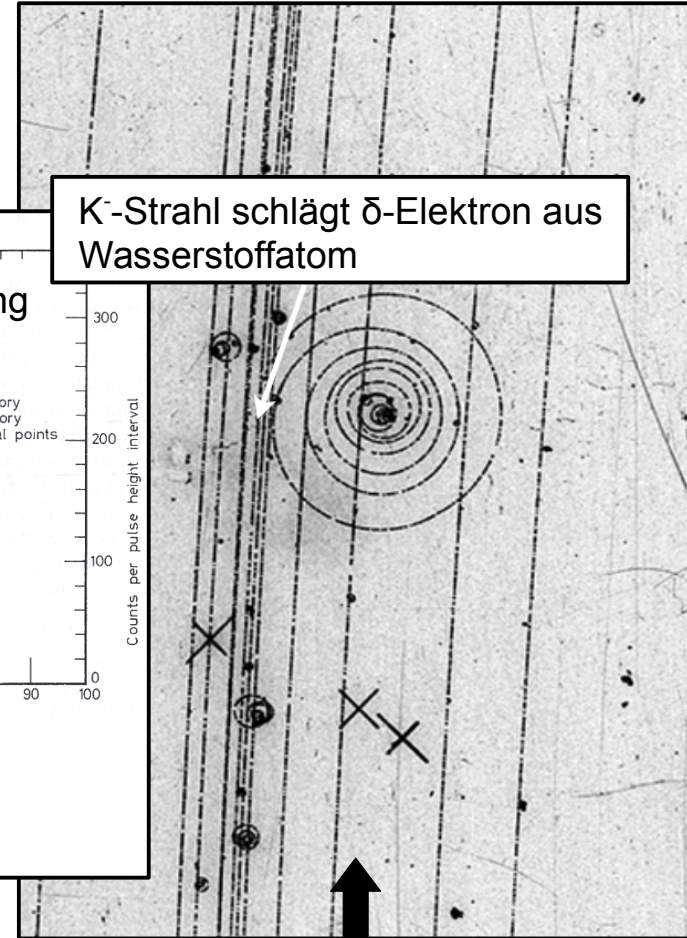


Bethe-Gleichung (Bereich kleiner  $\beta\gamma$ )

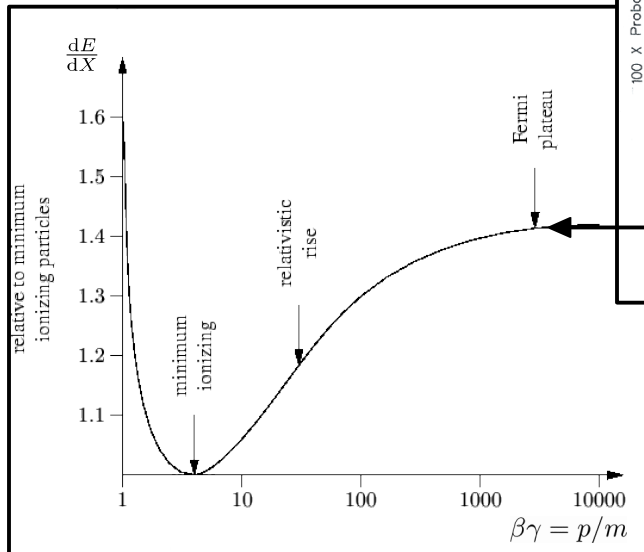
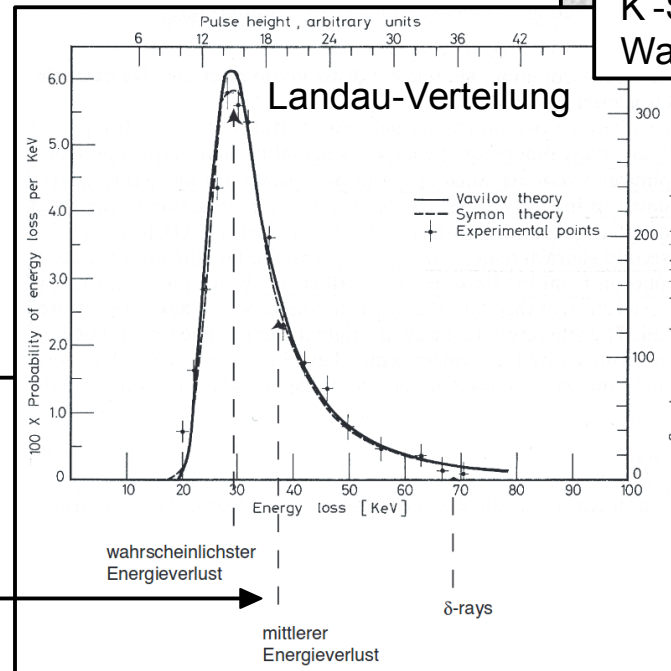
# dE/dx Fluktuationen

- Bethe-Gleichung → **mittlerer Energieverlust**
- Insbesondere in dünnen Absorbern von Fall zu Fall asymmetrische Verteilungen
- Empirische Beschreibung durch **Landau-Verteilung**
- Physikalischer Grund:  $\delta$ -Elektronen (s. rechts)

Blasenkammeraufnahme:



K<sup>+</sup>-Strahl schlägt  $\delta$ -Elektron aus Wasserstoffatom



K<sup>+</sup>-Strahl

# Vielfachstreuung

- Durch vielfache Coulomb-Streuung (**Vielfachstreuung**, engl. **multiple scattering**)  
→ Änderung der Bewegungsrichtung

- Streuwinkel  $\theta$  ungefähr nach Gauß verteilt  
(→ zentraler Grenzwertsatz)

- In der Ebene:  $f(\theta') = \frac{1}{\sqrt{2\pi}\theta_0} e^{-\frac{\theta'^2}{2\theta_0^2}} d\theta'$

- Breite der Streuwinkelverteilung nach Wegstrecke  $x$  in Materie:

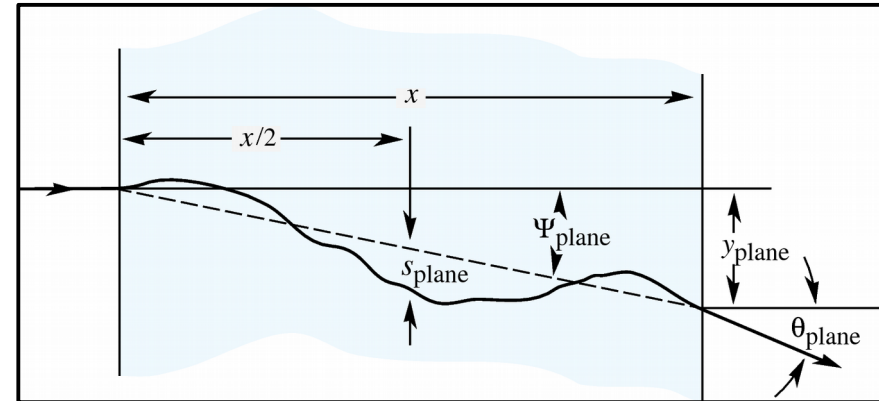
$$\theta_0 \approx 13.6 \text{ MeV} \frac{Z}{\beta c p} \sqrt{\frac{x}{X_0}}$$

$Z$  : Kernladungszahl Material

$\beta$  : rel. Geschwindigkeit

$p$  : Impuls einfallendes Teilchen

$X_0$  : Strahlungslänge (Anm.: Einführung auf slide 18)



## Streuwinkel im CMS Spurdetektor:

$$p(\pi) = 10 \text{ GeV}$$

$$m(\pi) = 140 \text{ MeV}$$

$$Z(\text{Si}) = 14$$

Wie groß ist der Streuwinkel für  $x = X_0$ ?



# Vielfachstreuung

- Durch vielfache Coulomb-Streuung (**Vielfachstreuung**, engl. **multiple scattering**)  
→ Änderung der Bewegungsrichtung

- Streuwinkel  $\theta$  ungefähr nach Gauß verteilt  
(→ zentraler Grenzwertsatz)

- In der Ebene: 
$$f(\theta') = \frac{1}{\sqrt{2\pi}\theta_0} e^{-\frac{\theta'^2}{2\theta_0^2}} d\theta'$$

- Breite der Streuwinkelverteilung nach Wegstrecke  $x$  in Materie:

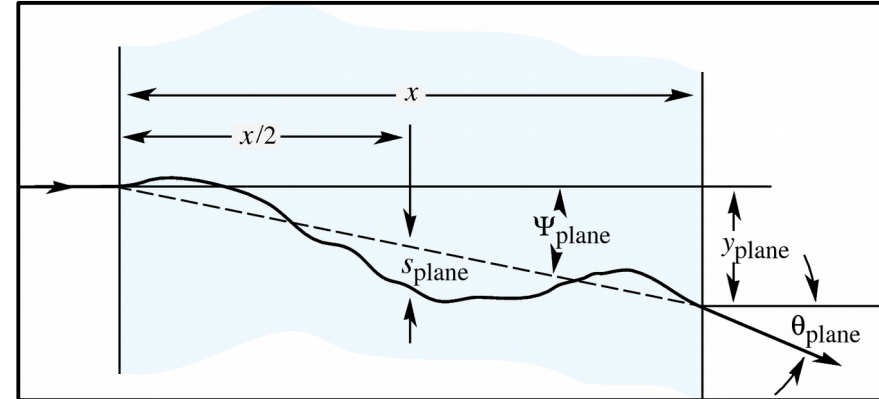
$$\theta_0 \approx 13.6 \text{ MeV} \frac{Z}{\beta c p} \sqrt{\frac{x}{X_0}}$$

$Z$  : Kernladungszahl Material

$\beta$  : rel. Geschwindigkeit

$p$  : Impuls einfallendes Teilchen

$X_0$  : Strahlungslänge (Anm.: Einführung auf slide 18)



## Streuwinkel im CMS Spurdetektor:

$$p(\pi) = 10 \text{ GeV}$$

$$m(\pi) = 140 \text{ MeV}$$

$$Z(\text{Si}) = 14$$

Wie groß ist der Streuwinkel für  $x = X_0$ ?  $\theta_0 \approx 1 \text{ deg}$

Impuls-/Energie- & Spurauflösung oft durch Vielfachstreuung begrenzt.



# Zusammenfassung: Energieverlust durch Ionisation

---

- Nachweis geladener Teilchen in Materie: **Lokalisation** und **Energiemessung**
- Wichtigster Mechanismus für alle geladenen Teilchen: **Energieverlust durch Ionisation** und Anregung des Nachweismaterials
- Erwarteter mittlerer Energieverlust: **Bethe-Gleichung**
- Fluktuationen in Energieverlust von Fall zu Fall (insb. in dünnen Absorberschichten) beschrieben durch **Landau-Verteilung**
- **Vielfachstreuung** oft limitierender Faktor für Bestimmung der Teilchentrajektorie

# **Kapitel 2.2: Wechselwirkung von Elektronen und Photonen mit Materie**

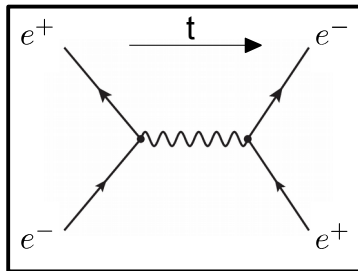
# Wechselwirkung von Elektronen mit Materie

- Zusätzlich zur Ionisation:**

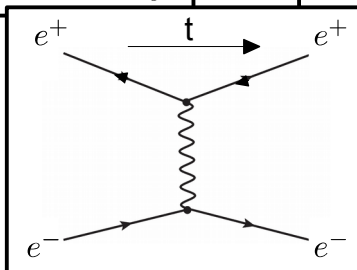
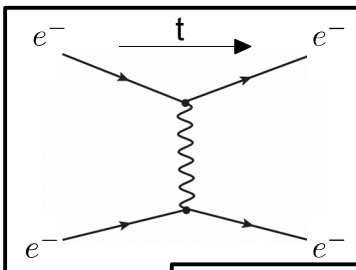
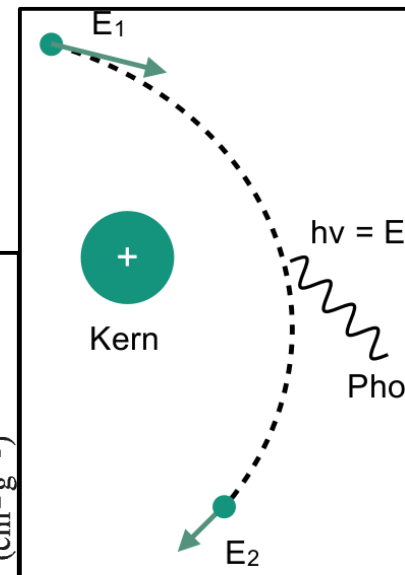
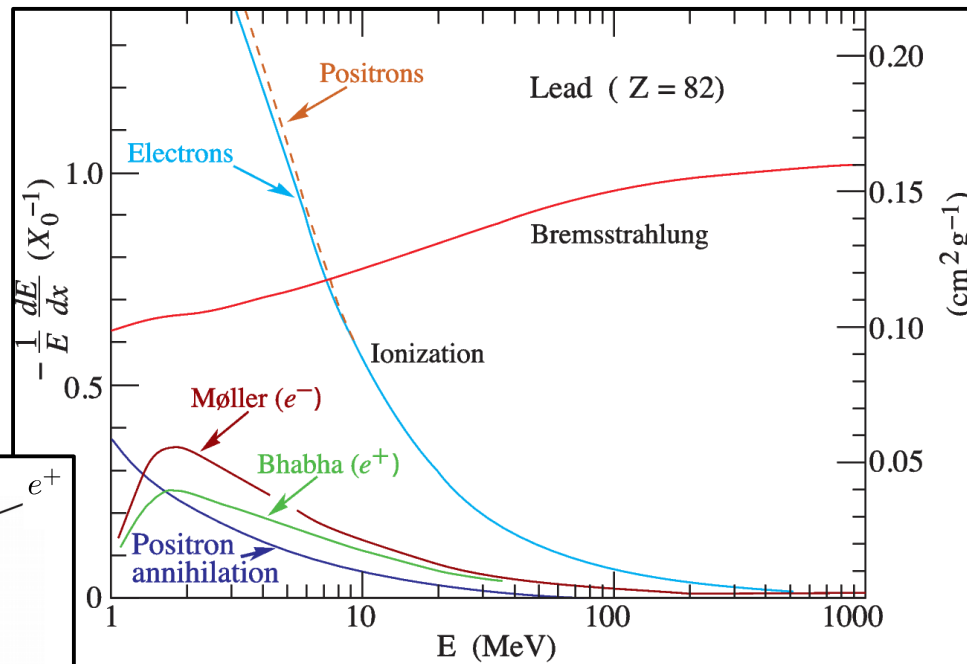
Niedrige Energien:  $\xrightarrow{\hspace{10em}}$  Hohe Energien:  $\xrightarrow{\hspace{10em}}$

- Møller-Streuung ( $\rightarrow$  für  $e^-$ )
- Bhabha-Streuung & Paarvernichtung ( $\rightarrow$  für  $e^+$ )

- Bremsstrahlung** ( $\rightarrow$  beschleunigte Ladung)



Können Sie die Prozesse zuordnen?



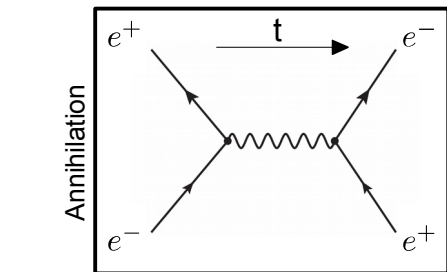
# Wechselwirkung von Elektronen mit Materie

- **Zusätzlich zur Ionisation:**

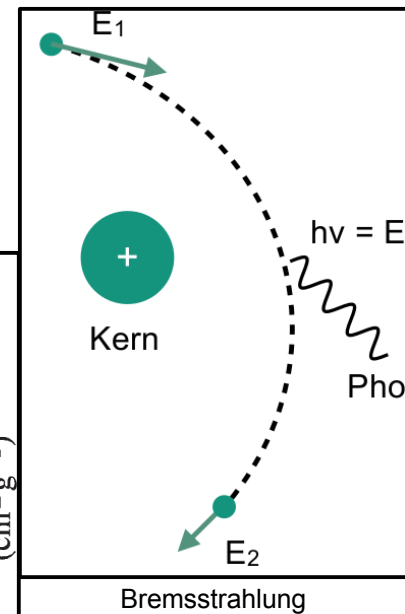
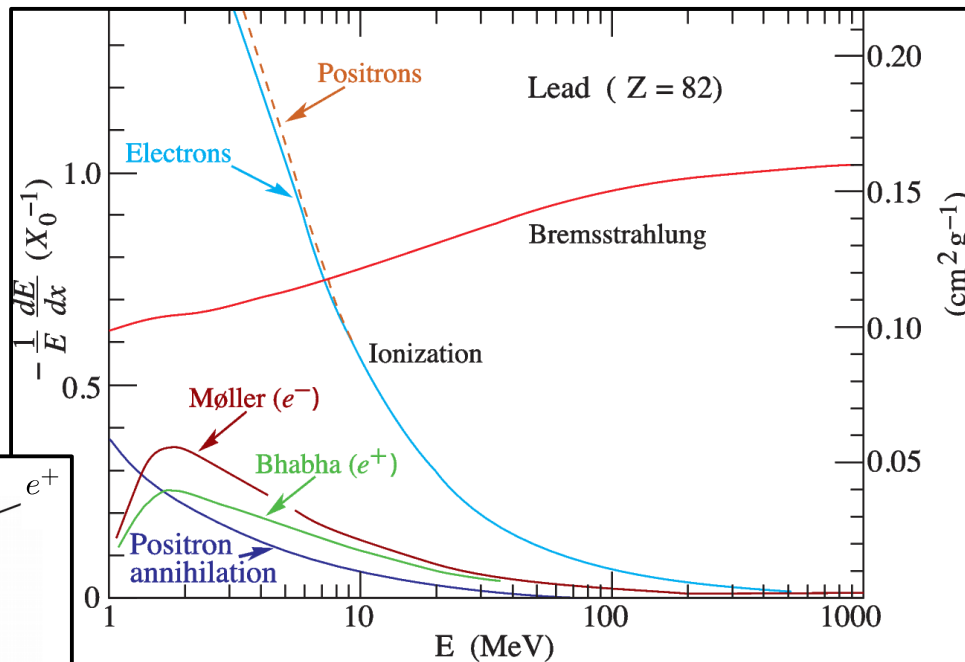
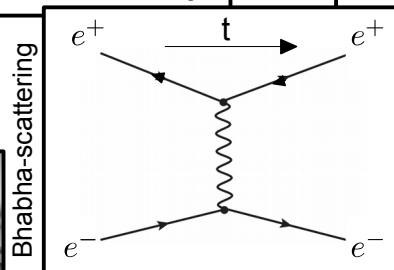
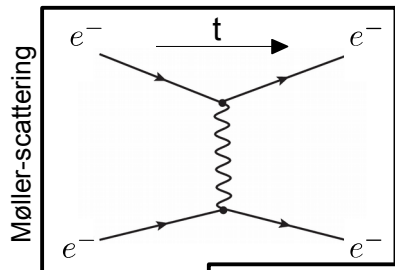
Niedrige Energien:  $\xrightarrow{\hspace{10em}}$  Hohe Energien:  $\xrightarrow{\hspace{10em}}$

- Møller-Streuung ( $\rightarrow$  für  $e^-$ )
- Bhabha-Streuung & Paarvernichtung ( $\rightarrow$  für  $e^+$ )

- **Bremsstrahlung** ( $\rightarrow$  beschleunigte Ladung)

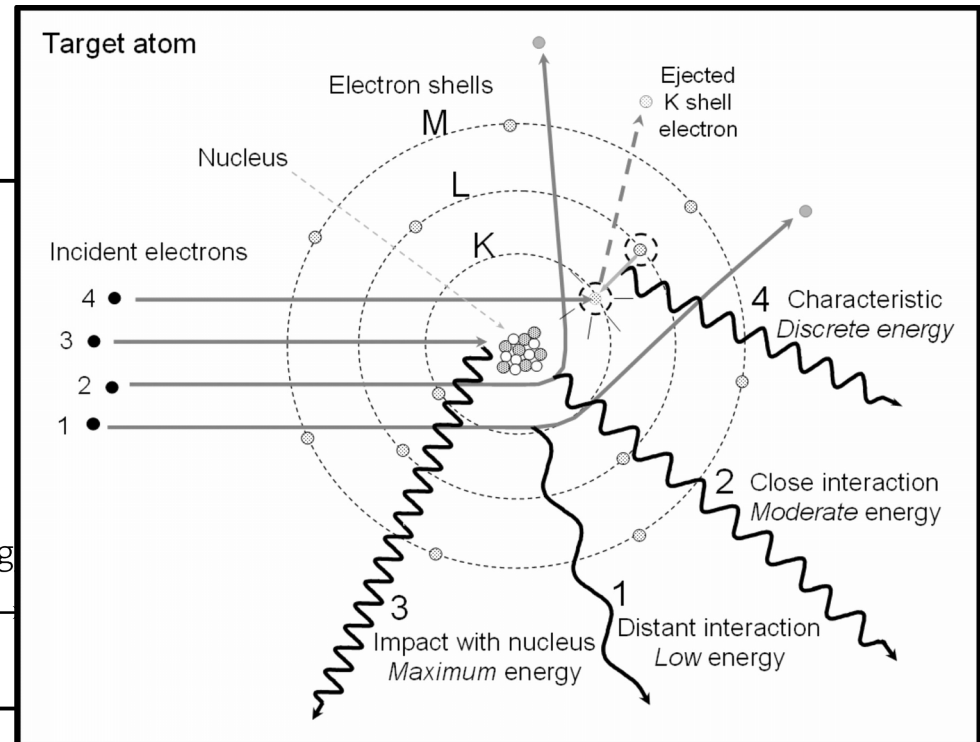
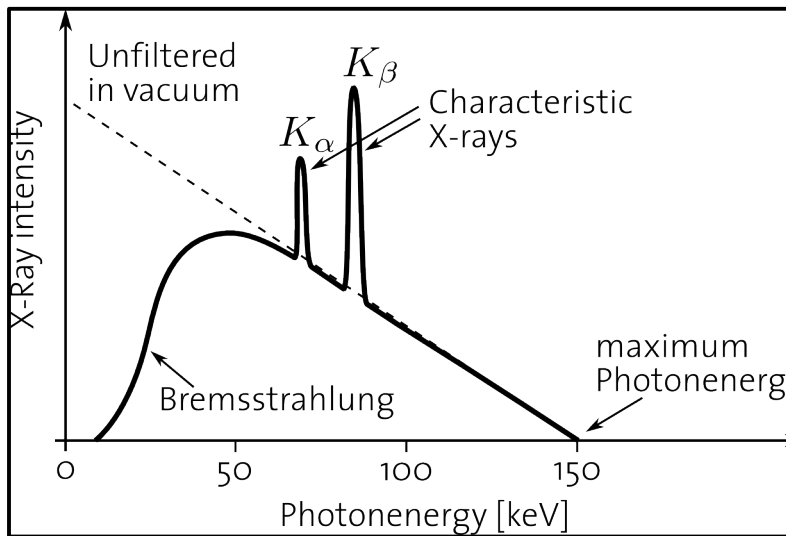
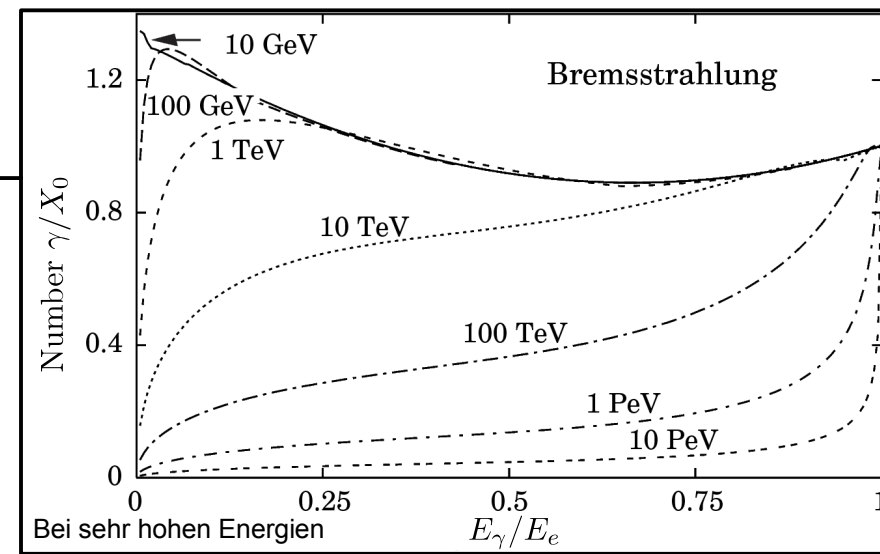


Können Sie die Prozesse zuordnen?



# Bremsstrahlungsspektrum

- **Kontinuierlich** bis zur maximalen Energie des Elektrons
- Zusätzlich charakteristische **monoenergetische Linien** durch Fluoreszenz des Detektormaterials



# Strahlungslänge

- **Mittlerer Energieverlust** durch Bremsstrahlung (für Materialien mit großem Z):

$$\left\langle \frac{dE}{dX} \right\rangle_{\text{Brem}} = -4 \alpha r_e^2 N_A \frac{Z^2}{A} \cdot \ln \left( \frac{187}{Z^{1/3}} \right) \cdot E = -\frac{E}{X_0}$$

$$X_0 = \frac{1}{4 \alpha r_e^2 N_A \frac{Z^2}{A} \cdot \ln \left( \frac{187}{Z^{1/3}} \right)} \quad (\text{Strahlungslänge})$$

- Materialspezifische Größe, Einheiten:  $[X_0] = \text{g/cm}^2$
- Nach Durchqueren einer Strahlungslänge in einem bestimmten Material ist die Energie eines hochenergetischen Elektrons im Mittel auf den Bruchteil  $1/e$  ( $e$ : Eulersche Zahl) abgefallen
- $X_0 \propto \frac{1}{Z^2} \rightarrow$  kürzere Strahlungslänge für Absorber mit höherer Kernladungszahl

# Strahlungslänge

- **Mittlerer Energieverlust** durch Bremsstrahlung (für Materialien mit großem Z):

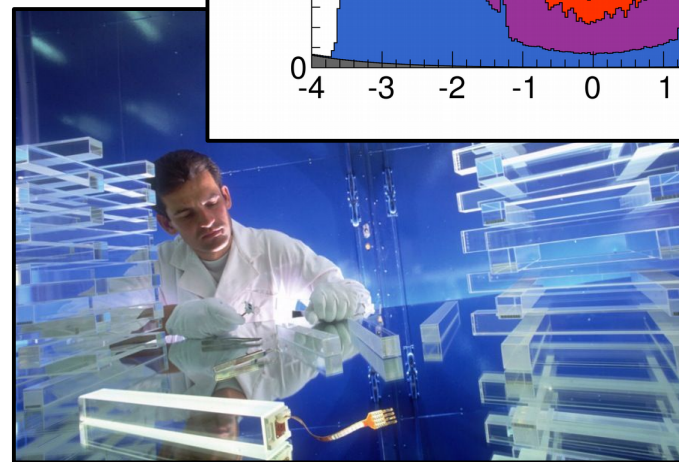
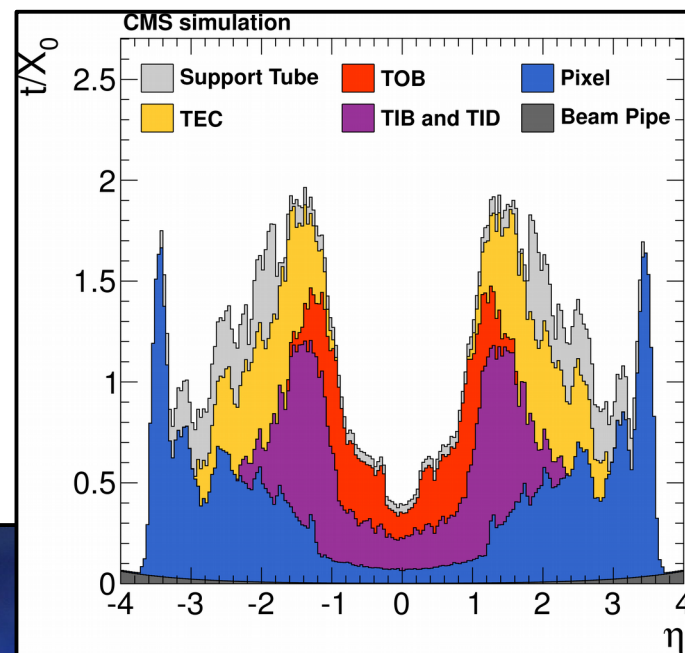
$$\left\langle \frac{dE}{dX} \right\rangle_{\text{Brem}} = -4 \alpha r_e^2 N_A \frac{Z^2}{A} \cdot \ln \left( \frac{187}{Z^{1/3}} \right) \cdot E = -\frac{E}{X_0}$$

$$X_0 = \frac{1}{4 \alpha r_e^2 N_A \frac{Z^2}{A} \cdot \ln \left( \frac{187}{Z^{1/3}} \right)} \quad (\text{Strahlungslänge})$$

- **Beispielwerte:**

Material	$X_0$ in $\text{g}/\text{cm}^2$	$X_0/\rho$ in cm
Si	21.82	9.37
LAr	19.55	14.00
Eisen	13.84	1.757
Blei	6.37	0.5612

## Materialbudget CMS Tracker:



CMS em Kalorimeter ( $\text{PbWO}_4$ ,  $x/X_0 = 28$ )

# Strahlungslänge

- **Mittlerer Energieverlust** durch Bremsstrahlung (für Materialien mit großem Z):

$$\left\langle \frac{dE}{dX} \right\rangle_{\text{Brem}} = -4 \alpha r_e^2 N_A \frac{Z^2}{A} \cdot \ln \left( \frac{187}{Z^{1/3}} \right) \cdot E = -\frac{E}{X_0}$$

$$X_0 = \frac{1}{4 \alpha r_e^2 N_A \frac{Z^2}{A} \cdot \ln \left( \frac{187}{Z^{1/3}} \right)} \quad (\text{Strahlungslänge})$$

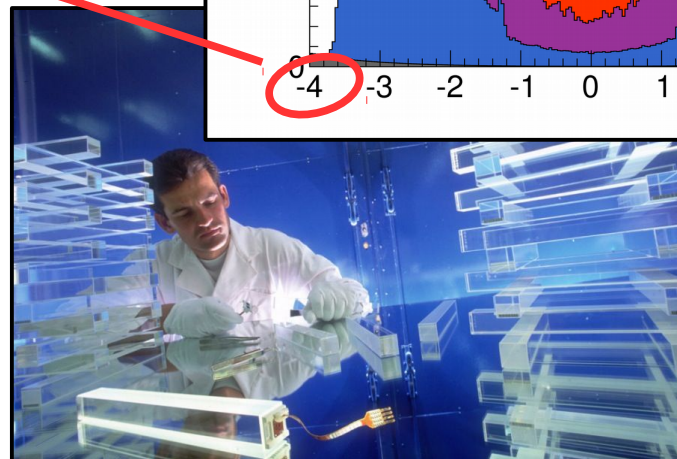
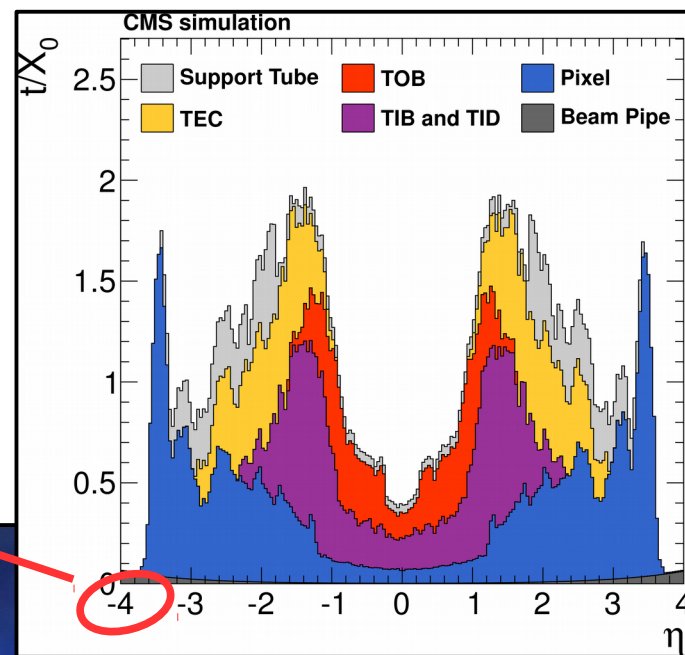
- **Beispielwerte:**

Material	$X_0$ in g/cm <sup>2</sup>	$X_0/\rho$ in cm
Si	21.82	9.37
Ar	10.55	14.00

Welcher Winkelabdeckung entspricht  $\eta = 4$  ?



## Materialbudget CMS Tracker:



CMS em Kalorimeter ( $\text{PbWO}_4$ ,  $x/X_0 = 28$ )

# Strahlungslänge

- **Mittlerer Energieverlust** durch Bremsstrahlung (für Materialien mit großem Z):

$$\left\langle \frac{dE}{dX} \right\rangle_{\text{Brem}} = -4 \alpha r_e^2 N_A \frac{Z^2}{A} \cdot \ln \left( \frac{187}{Z^{1/3}} \right) \cdot E = -\frac{E}{X_0}$$

$$X_0 = \frac{1}{4 \alpha r_e^2 N_A \frac{Z^2}{A} \cdot \ln \left( \frac{187}{Z^{1/3}} \right)} \quad (\text{Strahlungslänge})$$

- **Beispielwerte:**

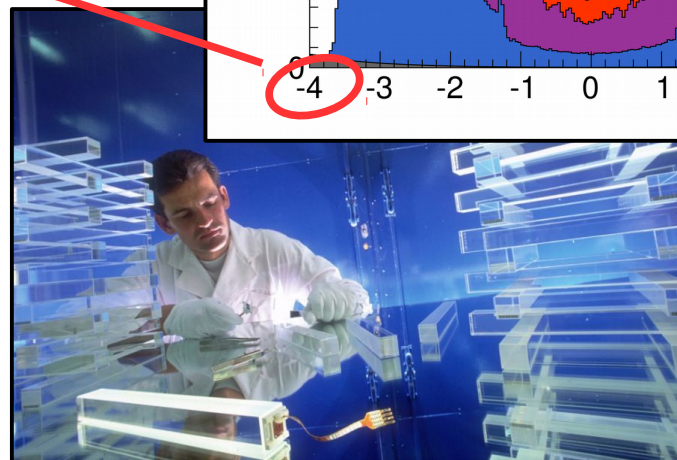
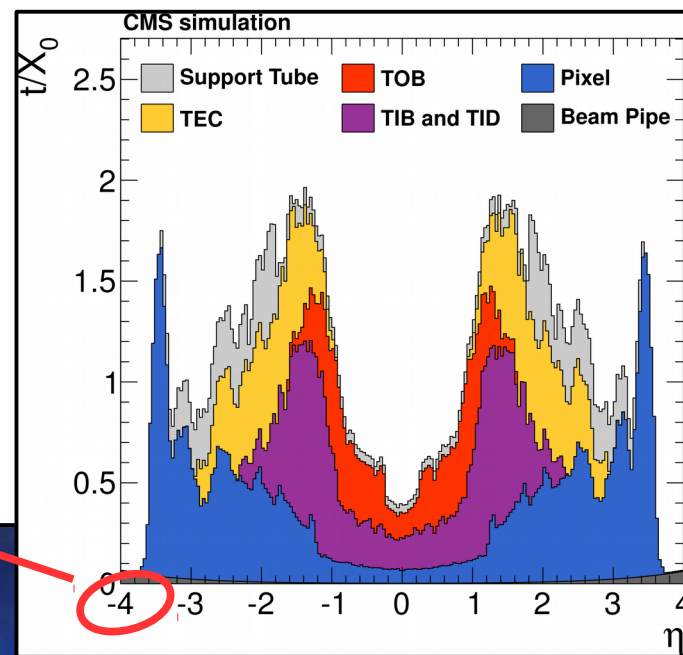
Material	$X_0$ in g/cm <sup>2</sup>	$X_0/\rho$ in cm
Si	21.82	9.37
Ar	10.55	14.00

Welcher Winkelabdeckung entspricht  $\eta = 4$  ?

$$\Delta\eta = [2.09; 177.9] \text{ deg}$$



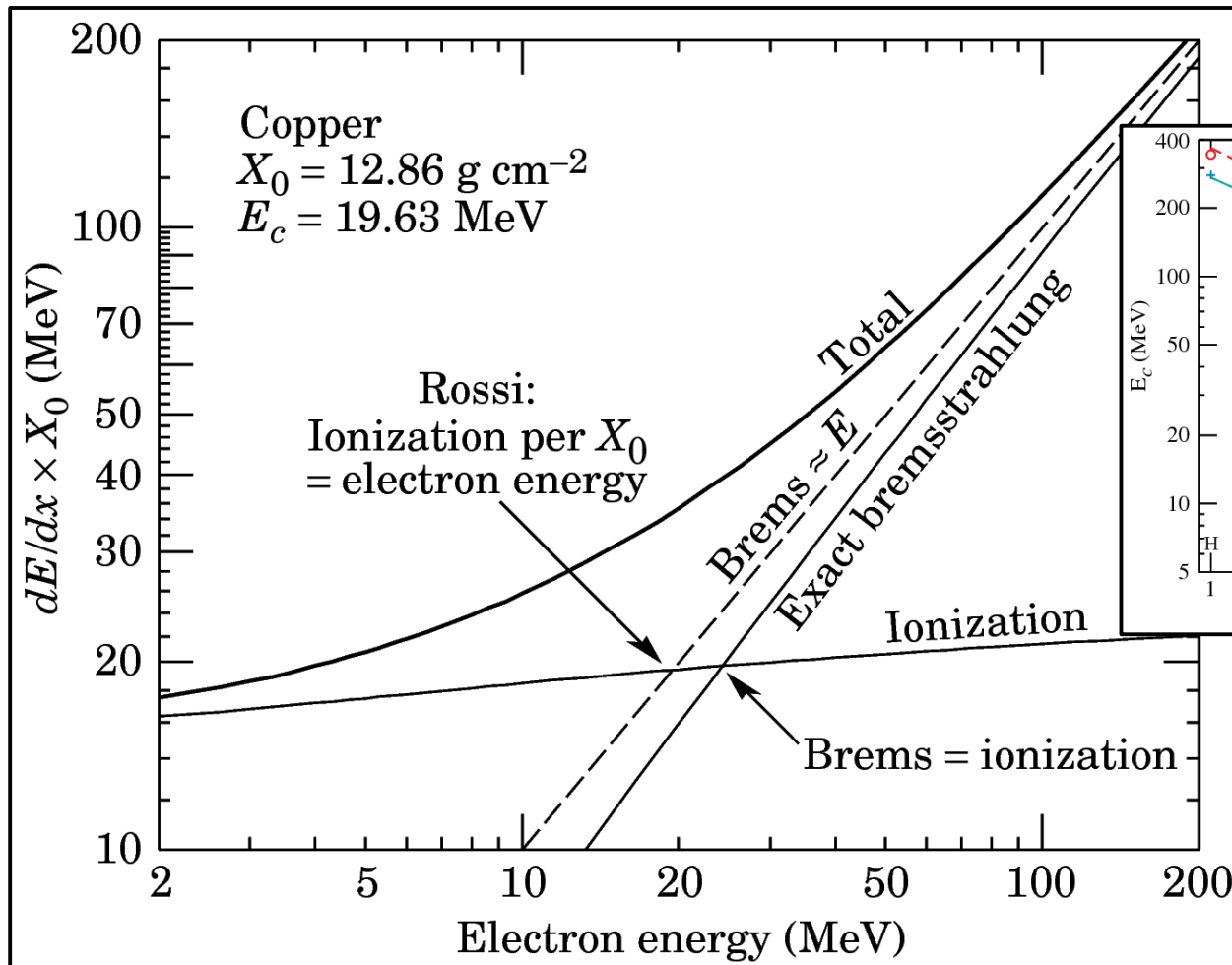
## Materialbudget CMS Tracker:



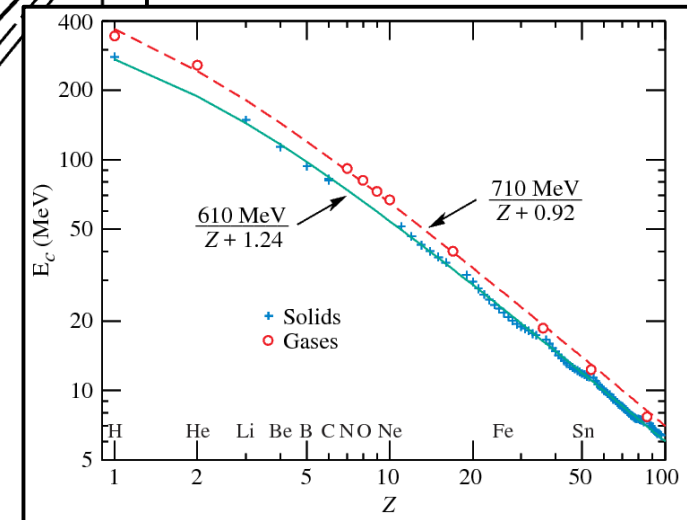
CMS em Kalorimeter ( $\text{PbWO}_4$ ,  $x/X_0 = 28$ )

# Kritische Energie

- $E_c$  : Energieverlust durch Ionisation = Energieverlust durch Bremsstrahlung
- Faustformel für Materialabhängigkeit von  $E_c$  in Festkörpern:  $E_c \approx \frac{610 \text{ MeV}}{Z+1.24}$  (Festkörper)



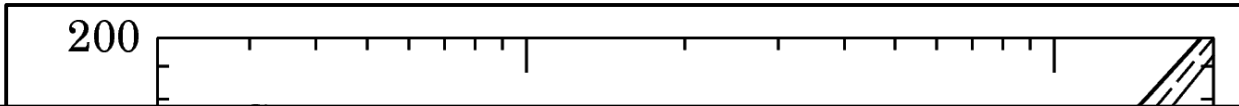
$$E_c \approx \frac{710 \text{ MeV}}{Z+0.92} \quad (\text{Gase})$$



Genauere Werte  
 i.a. [tabelliert](#)

# Kritische Energie

- $E_c$  : Energieverlust durch Ionisation = Energieverlust durch Bremsstrahlung
- Faustformel für Materialabhängigkeit von  $E_c$  in Festkörpern:  $E_c \approx \frac{610 \text{ MeV}}{Z+1.24}$  (Festkörper)



$$E_c \approx \frac{710 \text{ MeV}}{Z+0.92} \quad (\text{Gase})$$

## Kritische Energie im em Kalorimeter von CMS:

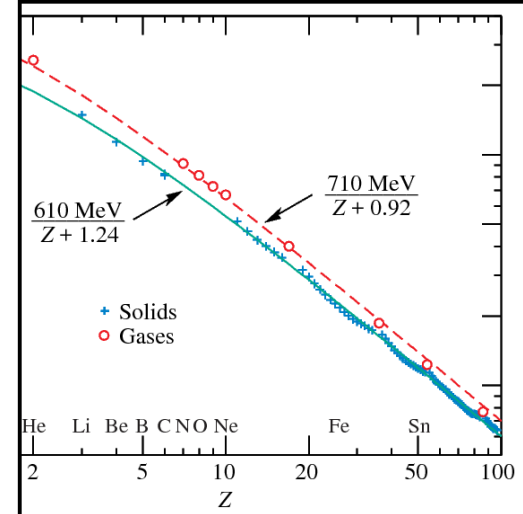


$$Z(W) = 74 \quad X_0 = 6.67 \text{ g/cm}^{-2}$$

$$p(e^-) = 30 \text{ GeV}$$

Wie groß ist die kritische Energie von Wolfram?

Nach wieviel Strahlungslängen erreicht das  $e^-$   $E_c$  ?

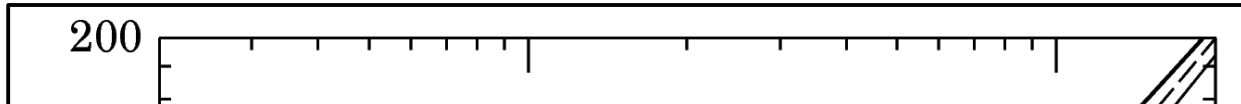


Genauere Werte  
a. [tabelliert](#)

Electron energy (MeV)

# Kritische Energie

- $E_c$  : Energieverlust durch Ionisation = Energieverlust durch Bremsstrahlung
- Faustformel für Materialabhängigkeit von  $E_c$  in Festkörpern:  $E_c \approx \frac{610 \text{ MeV}}{Z+1.24}$  (Festkörper)



$$E_c \approx \frac{710 \text{ MeV}}{Z+0.92} \quad (\text{Gase})$$

## Kritische Energie im em Kalorimeter von CMS:



$$Z(W) = 74 \quad X_0 = 6.67 \text{ g/cm}^{-2}$$

$$p(e^-) = 30 \text{ GeV}$$

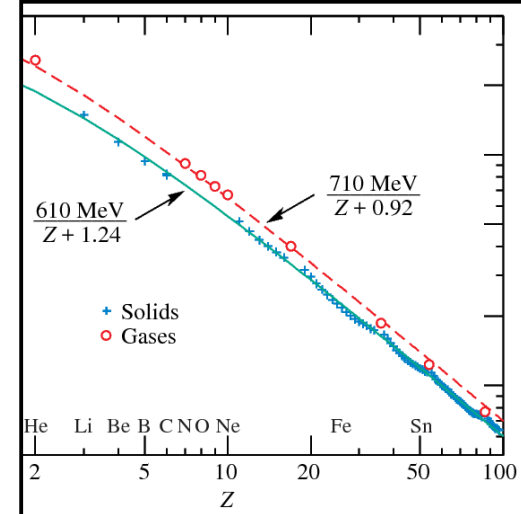
Wie groß ist die kritische Energie von Wolfram?

$$E_c = 8.11(7.94) \text{ MeV} \quad (\text{Wert in Klammern aus Tabelle})$$

Nach wieviel Strahlungslängen erreicht das  $e^-$   $E_c$  ?

$$\frac{p(e^-)}{E_c} = 0.0027 \quad x/X_0 = -\ln\left(\frac{p(e^-)}{E_c}\right) = 8.216$$

Electron energy (MeV)



Genauere Werte  
a. tabelliert

# Gliederung der Vorlesung



KW-17	<b>1 Einführung</b>	
	1.1 Organisation der Vorlesung	
	1.2 Übersicht und Literatur	
	1.3 Geschichte	
	1.4 Einheiten und Einheitssysteme	
	1.5 Relativistische Kinematik	
	1.6 Streuexperimente	
KW-18	<b>2 Experimentelle Methoden</b>	
	2.1 Nachweis geladener Teilchen in Materie	
	2.2 Wechselwirkung von Elektron und Photon mit Materie	←
	2.3 Hadronische Wechselwirkungen und Materie	
	2.4 Detektionstechniken	
	2.5 Detektorsysteme in der Teilchenphysik	
	2.6 Beschleuniger in der Teilchenphysik	
KW-20	<b>3 Struktur der Materie</b>	
	3.1 Kernradien und Formfaktoren	
	3.2 Struktur der Nukleonen	
	3.3 Fundamentaler Aufbau der Materie und ihre Wechselwirkungen	